

愛知工業大学 正員 青木徹彦
名古屋大学 正員 福本勝士

1. 序言 鋼圧縮部材の基準耐荷力式は従来、主として両端単純支持された部材の中心軸圧縮強度に関する実験的、理論的结果をもとに定められており。しかし、実構造物中の圧縮部材はそれが中心軸圧縮力を受ける部材として設計されたとしても、組立て施工時に初期应力や偏心量が部材に導入され、また他の部材との剛結合によって荷重作用時に部材端回転拘束を受けるため強度増加が期待できる反面、いわゆる2次応力の発生による強度低下作用が生じる。設計式にこれららの要因を考慮するため、従来、偏心軸圧縮柱強度を用いたり、偏心を与えないかわりに初期たわみに柱長の $1/1000$ 程度のヤンク大きさを仮定したり、あるいは有効長さの概念を導入して対処しているが、現在までところそれらの中に含まれる諸係数の設定が必ずしも明確な根拠に基づいているとは言えないであろう。今後さらに実験データや解析結果の積重ねを行い、合理的対応の方法を考えていく必要があるようと思われる。*S5RC*では1979年にTask Group 23を発足させ、弾性拘束柱の強度と設計に関する検討を始めた。¹⁾

本研究は実構造物中の部材の挙動に近い条件で強度特性を実験的に得ることを目的とし、溶接H形鋼柱の両端に弾性拘束梁を設けて柱の中心軸、および偏心圧縮実験を行つものである。

2. 実験計画、および実験方法

(1) 実験計画 実験に用いる供試体断面寸法は高さ×幅 = 200 × 200 mm の溶接H形鋼断面材とし、材質はJIS M50Aとする。断面諸元をFig. 1に示す。柱は断面の弱軸まわりの回転支持とし、細長比は $\ell/r = 40, 70$ 、および100の3種とする。柱の両端に固定する弾性拘束梁には高さ×幅 = 192 × 150 mm の圧延H形鋼を弱軸方向曲げで使用し、次式で与えられる弾性拘束度 $\gamma' (= 1/G)$ の値が0.5および1.0となるよう梁長さを定める。また、比較のために弾性拘束梁のない柱も実験に用いる。

$$\gamma' = (I_B/\ell_B)/(I_c/\ell_c) \quad \dots \dots \dots (1)$$

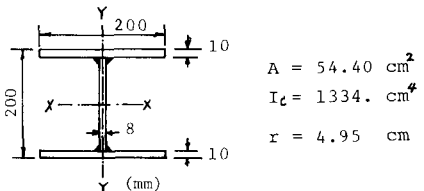


Fig. 1 Cross Sectional Properties

ここで I, ℓ は断面2次モーメント、 ℓ は部材長、添字BはBeam、CはColumnを示す。また、 $I_B = 507 \text{ cm}^4$ 。上式ではりの他端がピン式とまき長さを ℓ_B^* とすると $\ell_B^* = 3\ell_B/2$ となる(Fig. 2)。柱には $e = 0, r/20, r/10$ の3種の偏心量を与えて強度の変化を調べる。ここで、 r は柱の断面回転半径。供試体は各パラメータごとに1本用い、合計24体^{**}とする。この供試体の初期たわみ、および残留応力は予め求められており³⁾、また、ウェブとフランジ部から取出した引張り試験片

による降伏応力、断面平均的な値は

$\sigma_y^T = 3630 \text{ kg/cm}^2$ 、圧縮試験片による値は $\sigma_y^C = 3729 \text{ kg/cm}^2$ である。

(2) 実験方法

柱の回転支持器には市販の内外輪付きローラーベアリングが組込まれており、充分滑かに回転できる。

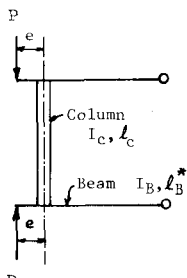


Fig. 2 Test Setup

Table 1 Test Program

ℓ/r	40				70				100			
Column Length (mm)	1980				3466				4951			
Eccentricity	0	$r/20$	$r/10$	0	$r/20$	$r/10$	0	$r/20$	$r/10$	0	$r/20$	$r/10$
End Restraint Parameter γ'	0	0	0	0	0	0	0	0	0	0	0	0
	0.5	0.5	0.5	0.5	0.5	0.5	0.5	0.5	0.5	0.5	0.5	0.5
	1	1	1	1	1	1	1	1	1	1	1	1

** $\gamma' = 0, e = 0$ の柱は文献3)の結果を利用する。

実験は次の手順で行う。1) 柱に降伏荷重 P_y の $1/5$ 程度の荷重を与える、柱の端部のフランジ上に貼付けた上下各4枚のひずみゲージにより、柱端部を支持器回転中心にセットする。2) 柱の上下端部に弹性拘束用梁を H22 H.T. ボルトにより取付ける。柱と梁の固定度は予備実験を行い調べたところ充分であることがわかった。3) 柱の上下端に取付けた $1/100 \text{ mm}$ 精度変位計により柱に所定の偏心量を与える。4) 弹性拘束梁の他端はピン支持であるが少量の水平移動ができるよう短いリンクを介して支持フレームに固定する。5) 測定値うち荷重と柱中央部までの横方向変位量との関係をグラフに描きながら荷重および変位の制御を行う。測定項目はこの他に、柱中央部の縦ひずみ、柱の軸方向変位、柱端部回転量、はりの縦ひずみとする。

3. 実験結果とその考察

(1) 荷重-変形関係 荷重と柱中央横たわみの測定例を Fig. 3 に示す。他の柱も同様であるが最大耐力付近で変位は増大するが耐力の変化は少ない。

(2) 最大耐力 実験で得られた最高荷重を短柱実験による降伏荷重の平均値 $P_y = 217.6 \text{ ton}$ で無次元化して整理すると Table 2 を得る。これらの値を縦軸に、弹性拘束度 γ の値を横軸にグラフ化すると Fig. 4 となる。実験値には幾分ばらつきが見られるが、 γ の増加に伴う耐力の増大、および偏心量の増加に伴う耐力の低下の様子がわかる。

(3) 弹性拘束度の影響 Fig. 5 は $\gamma = 0$ の柱の耐力 $P_{Y=0}$ に対する弹性拘束を有する柱の耐力 P_Y の増加率(%)を各細長比ごとに示した図である。図から明らかに $\gamma = 0.5 \sim 1.0$ の間で細長比の大きい柱ほど拘束による強度上昇効果が大きくなっていることがわかる。 $\ell/r = 40$ の柱では $\gamma = 0.5$ 以上の拘束度があっても強度上昇は期待できない。また、偏心量の大きい柱での拘束梁の効果は大きい。Fig. 6 は $\gamma = 0$ の柱の耐力を $\gamma = 0.0, \gamma = 1.0$ について描いた図である。同図から $\gamma = 1.0$ の拘束を有する柱の強度の概算値を座屈有効長係数 K を用いて求める。この場合、 $K = 0.776$ であり、 $\ell/r = 70$ の柱に対応する柱($K\lambda$)の強度は図のように $P_K = 0.79 P_y$ となる。一方、 $\gamma = 1.0$ の拘束柱の実験値は $P_Y = 0.85 P_y$ であり、 P_K の値は約 7% P_y より低く値を示している。同様の比較は文献2)にも数値モデル柱により行なわれているが低下率は $\lambda = 1.1$ で 34% にも達している。弹性拘束柱に関する今後、より実測に近い供試体による実験データの収集が望まれる。

1) W.F.Chen, End Restraint and Column Stability, ASCE, ST11, Nov. 1980

2) Z.Y.Shen, L.W.Lu, Analysis of Initially Crooked, End Restrained Steel Columns, Fritz Eng. Lab. Report, Dec. 1981

3) 青木, 福木, 200×200 mm 構造用鋼柱の中心軸屈曲強度に関する統計的実験, 昭和57年, 年譜

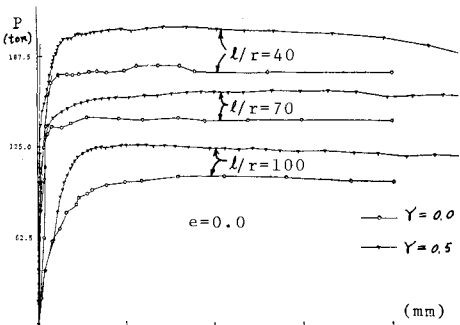


Fig. 3 Load-Deflection Relationship

Table 2 Test Results (P_{max}/P_y)

e	γ	ℓ/r		
		40	70	100
0	0.0	0.852	0.704	0.495
	0.5	0.955	0.750	0.578
	1.0	0.962	0.847	0.662
$r/20$	0	0.818	0.608	0.460
	0.5	0.962	0.771	0.525
	1.0	0.974	0.810	0.646
$r/10$	0	0.732	0.595	0.403
	0.5	0.926	0.688	0.491
	1.0	0.920	0.739	0.539

($P_y = 217.6 \text{ ton}$: Stub Column Test)

P_{max}/P_y

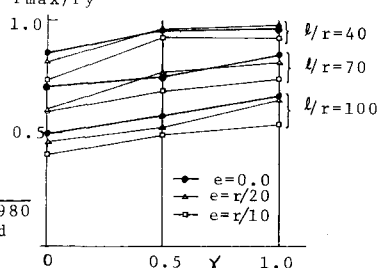


Fig. 4 Pmax and γ relationship

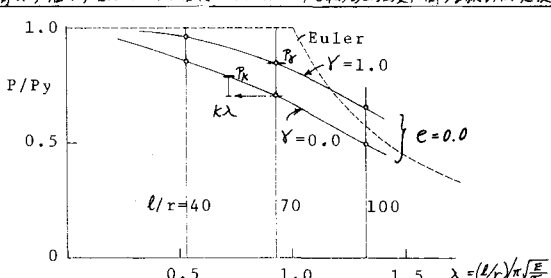


Fig. 6 Influence of End Restraint on Maximum Strength of Column

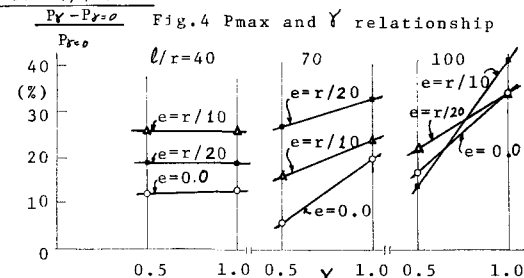


Fig. 5 Increase in Column Strength due to Column Restraint